

Le modèle du cristal ionique parfait et ses limites

Niveau L2. si thermo stat C_3 m'thermo sur lacune.

Pérequis: Modèle du cristal métallique parfait

Liaison ionique

Entropie statique

Diagramme d'Ellingham. ($\Delta_{\text{e}}G = f(T)$)

Introduction:

Par réaction avec O_2 , les métaux conduisent généralement à des oxydes métalliques, dont on a étudié la stabilité thermodynamique dans le diagramme d'Ellingham. De même, les métaux, halogènes, ce qui donne des halogénures métalliques: $NaCl$ réduit les KCl (mines de potasse) ~~Alsace~~ Alsace... On connaît aussi d'autres composés de ce type: les sulfures (ZnS), les carbures (Al, C_3), les nitrides (AlN), les hydrides.

Prop communes:

- bonnes cohésions, je dureté élevée, des T^* de fusion > aux métaux
- généralement incohérents, isolant (à l'état solide) cond (à l'état liquide)
- soluble ds l'eau et ds solvant organiq

Dans le modèle ionique, on considère le cristal comme un ensemble d'ions, en état d'interaction électrostat., assimilables à des charges ponctuelles

I) Energie du modèle ionique

1) Description

modèle sphère dure + pas de touche sur même charge

Les anions et cations se disposent en optimisant leurs interactions électriques, un ion Na^+ va s'entourer d'un max d'anion et reciprocement. Pourquoi $NaCl$ et $CsCl$ ne ont pas la même structure cristalline?

→ image des 2 structures Shriver Atkins.

On peut l'expliquer avec le rapport des rayons ρ

$$\rho = \frac{r_{\text{petit}}}{r_{\text{grand}}} = \frac{r_{\text{cation}}}{r_{\text{anion}}} \quad (\text{dans la plupart des cas}).$$

$$\rho_{\text{CsCl}} = \frac{167}{181} = 0,8923 \quad r_{\text{Cs}^+} = 167 \text{ pm} \quad r_{\text{Na}^+} = 95 \text{ pm} \quad r_{\text{Cl}^-} = 181 \text{ pm}$$

$$\rho_{\text{NaCl}} = \frac{95}{181} = 0,525.$$

Tableau 2.4 p 50 Shriver - Atkins ^{image} mieux ds Bottin

↓
coordonnée 8

↓
 $c \neq c$

↓
coordonnée 6

↓
 $c \neq c$

p 434 / 436

modèle ionique : ion = sphère \rightarrow charge uniformément répartie \Rightarrow pas de directions privilégiées.

\Rightarrow L'interaction électrostatique doit être calculée sur tout le cristal, on va montrer que cette énergie constitue l'essentiel de l'énergie cristalline.

(*) ~~exp d'un autre que A~~

2) Calcul de l'énergie électrostatique / approche électrostatique

modèle des charges ponctuelles $\rightarrow E_E = \frac{1}{2} \sum_i q_i V_i$

($\frac{1}{2}$ car facteur redondant ds la Σ)

On peut développer cette somme :

$$E_E = \frac{1}{2} \left[q_1 \sum_{j \neq 1} \frac{1}{4\pi\epsilon_0} \frac{q_j}{r_{ij}} + q_2 \sum_{j \neq 2} \frac{1}{4\pi\epsilon_0} \frac{q_j}{r_{2j}} + \dots \right]$$

En prenant 1 mole de cristal A^+B^- on a $2cV_A$ les termes entre crochets (en négligeant les effets de bord)

$$E_E = \frac{1}{2} 2cV_A q_1 \sum_j \frac{1}{4\pi\epsilon_0} \frac{q_j}{r_{ij}}$$

Donc on choisit un ion Na^+ au centre du cube et on évalue l'action de tout les autres sur lui

NaCl : Na^+ au centre du cube

→ remettre structure

position $a/2$, $a/2$, $a/2$

r = distance entre les 2 ions de charge opp. les plus proches

Na^+ choisi à 6 voisins Cl^- à la distance r

12 " Na^+ à la distance $r\sqrt{2}$

8 " Cl^- à la distance $r\sqrt{3}$

les afficher
sur la
maille

$$E_E = \frac{-N_A e^2}{4\pi\epsilon_0 r} \left[\underbrace{\frac{6}{r} - \frac{12}{r\sqrt{2}} + \frac{8}{r\sqrt{3}} - \dots}_{M} + \dots \right]$$

Les interactions électrostatiques sont donc décrites par une suite numérique caractéristique du type de réseau qui converge vers une somme que l'on peut calculer. On donne à cette limite le nom de constante de Madelung M

$$E_E = \frac{-N_A e^2 M}{4\pi\epsilon_0 r}$$

Si on prend un cube de côté $2a$ $\rightarrow M = 1,752$

On peut faire des calculs très précis en utilisant des ordi.
 ~~$M = 1,7465$~~ (donné par Bottin)

$$E_E = \frac{-6,02216085 \times 10^{-3} (1,6021766 \times 10^{-19})^2}{4\pi \times 8,8541878 \times 10^{-12} \times (102+181) \times 10^{-12}} \times 1,7465$$

$$= -717 \cancel{+ 1083} \text{ kJ/mol} \quad -863$$

~~768,4 kJ/mol~~ l'énergie cristalline
énergie principale
il manque une partie de l'énergie cristalline.

→ Imprimer 1/2 partie en \oplus si q°

Approche Thermo

3) Energie rechauffante

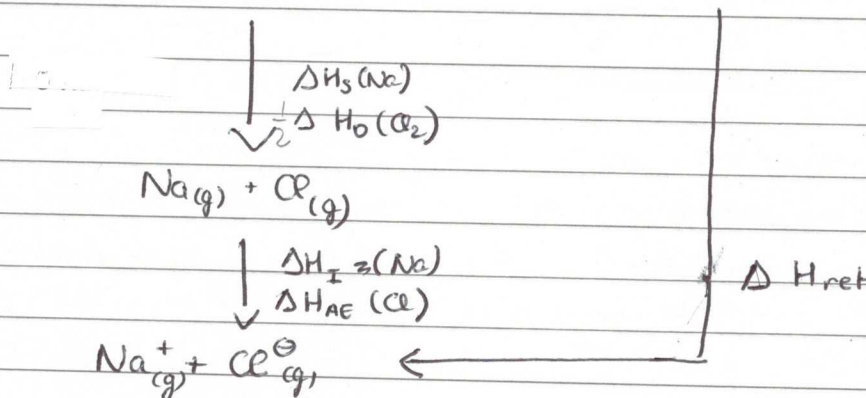
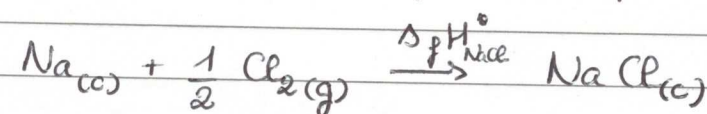
Pour le calcul d'énergie il faut aussi tenir

Energie qui tient compte du mot des ions, mot de vibrat° autour de leur posit° d'eq et dc de la T° et des énergies électroniques.

énergie rechauffante : variation d'énergie interne liée à la séparation à 0K d'une mole de cristal en ses ions parfaitement séparé (gaz en)

C'est une grandeur > 0 car format° cristal s'accompagne d'une diminut° d'énergie interne)

Purem° exp car calculée ac. grandeur exp.



$$\Delta_f H^\circ_{\text{NaCl}} \text{ enthalpie de formation de NaCl}_{(c)} = -411,2 \text{ kJ}$$

$$\Delta H_s \text{ enthalpie de sublimat° de Na} = 107,3 \text{ kJ}$$

$$\Delta H_o \text{ " de dissociat° du Cl}_2 = 24,3 \text{ kJ}$$

$$\left. \begin{array}{l} \Delta H_{Iz}(\text{Na}) \text{ enthalpie de ionisat° de Na} \\ \Delta H_{AE}(\text{Cl}) \text{ " de capture électroniq de Cl} \end{array} \right\} \text{ ou -Hf -PV} = 491 \text{ kJ}$$

$$\left. \begin{array}{l} \Delta H_{Iz}(\text{Na}) \text{ enthalpie de ionisat° de Na} \\ \Delta H_{AE}(\text{Cl}) \text{ " de capture électroniq de Cl} \end{array} \right\} \text{ ou -Hf -PV} = -34,8 \text{ kJ}$$

$$\Delta H_{\text{ret}} = -\Delta_f H^\circ + \Delta H_s + \frac{1}{2} \Delta H_o + \Delta H_{Iz} + \Delta H_{AE}$$

$$= 783 \text{ kJ} \cdot \text{mol}^{-1}$$

Les deux approches donnent des valeurs similaires (au mème pris.)

normale.

ans calcul à 0K que ce passe-t-il gd T ?

II 7 Limites du modèle parfait

1) Nécessité des défauts

p 616 figure 18, 1

(a) Variation de l'enthalpie et de l'entropie d'un cristal lorsque le nb de défaut aug.

$G = H - TS$ présente un min pr une c° non nulle de défaut.

\Rightarrow appariement des défauts spontanée.

b) qd $T \uparrow$ σ_{\min} se déplace vers une c° + grande en défaut.
peut finir le calcul -

2) Défaut ponctuels.

Frenkel, Schottky, anti-Schottky fig 22.4 Bottin p455

Rem anti-Schottky peut être un autre atome
(taille qui va bien)

nb de défaut de Frenkel en fonction de Pa T° p85 H prépa

A faire au tableau

3) Cristaux non stoechiométriques

Exemple de FeO.

Oxyde de fer 3 composés binaires

ox de Fer II FeO (wüstite)

ox de fer III Fe_2O_3 (hématite)

milieu II et III Fe_3O_4 (magnétite)

système binaire compliqué

\rightarrow p 94 doc 929 H prépa. bien décrite

$\mu = 1$ pas apparu de Fe_2O_3 pas FeO

1 bar = aucun des 3 oxydes

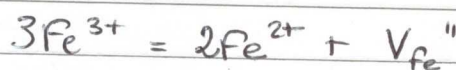
FeO stable pr uniquement à $T > 570^\circ C$

Tableau p 95 Mieux expliquée.

Lacune cationique V_{Fe}'' : défaut de Schottky

Or il faut respecter l'électronégativité

Fe^{3+} créé^o par Fe^{2+} qui capture un trou.



~~OK~~

La spécificité de la non-stoichiométrie de la wushite tient au fait que les ions Fe^{3+} et les seules ion M^{3+} indiffèrent à la sym du champ cristallin : leur ESCC = 0 pr octa (site) d⁵ car champs faible O^{2-} à tétraédrique tétraédrique

$\Rightarrow Fe^{3+}$ peut migrer vers un site tétraédrique du réseau oxygéné = défaut de Frenkel ss modif énergie

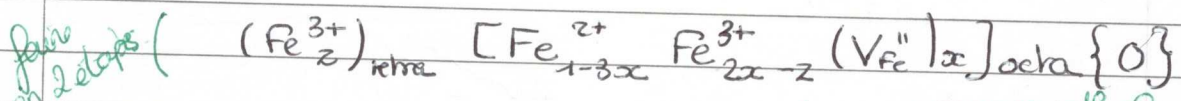
$\Rightarrow Fe^{2+} \oplus$ une partie de Fe^{3+} ds les sites octaédrique du réseau cfc des ions oxydes

→ image site octaédrique de cfc

\Rightarrow Reste des Fe^{3+} ds les sites tétraédrique

→ image

D'où la formulation globale de la wushite :



→ car conservat^o charge et masse.

- 1) octa x nb lacune
- 2) migre z nb en tétra.

Activité Lacune et Thermodynamique

Conclusion

$$\text{Nacune} = f(P/P_{P_2O_5})$$

Non parfait = intéressant car maintenir majorité des défauts \Rightarrow solide semi-conducteur.

ajouter $\frac{1}{2}$ ajouter des $\frac{1}{2}$ perovskite

ajouter